

## 8 Tensão Axial Pura na Teoria de Elasticidade Gradiente

### 8.1. Introdução

A bibliografia sobre esse assunto foi referida basicamente aos trabalhos de Elias Aifantis [7] quem realizou um estudo introdutório à análise estática e dinâmica longitudinal de uma barra submetida a tensão pura na elasticidade gradiente. Posteriormente em Tsepoura et al [1] foi complementado esse trabalho mediante a consideração de uma constante constitutiva não clássica adicional, a qual é estudada em detalhe no presente capítulo através da consideração de diferentes condições de contorno.

### 8.2. Equações que regem o problema de Tensão Pura

Em Tsepoura et al [1] foi desenvolvido o caso particular que relaciona a tensão e a deformação de uma barra submetida a tensão axial pura com dois parâmetros constitutivos  $g$  e  $l$  descritos na expressão (8-1). Neste caso consideram-se os deslocamentos  $u_y=u_z=0$ ,  $u = u_{xx}$ . O objetivo básico é mostrar como a deformação não se mantém constante ao longo da barra como no caso clássico. A seguir é apresentado o vetor de tensões generalizadas numa barra de treliça:

$$\begin{Bmatrix} \tau \\ \mu \end{Bmatrix} = E \begin{bmatrix} 1 & l \\ l & g^2 \end{bmatrix} \frac{\partial}{\partial x} \begin{Bmatrix} u \\ u' \end{Bmatrix} \quad (8-1)$$

onde:

$u$  : deslocamento longitudinal no eixo  $x$ .

$u' = du/dx$  tradicionalmente conhecida pela deformação longitudinal mas aqui também é o deslocamento de segunda ordem.

$\tau = \tau_{xx}$  : tensão de Cauchy no eixo  $x$ .

$\mu = \mu_{xx}$  : tensão dupla, ou tensão de segunda ordem.

$l$  : constante da energia de deformação superficial longitudinal.

$g$  : constante da energia de deformação volumétrica.

$E$  : módulo de elasticidade do material.

Se é definida a matriz  $\mathbf{E} = E \begin{bmatrix} 1 & l \\ l & g^2 \end{bmatrix}$  é necessário restringir ela como positiva

definida e por tanto  $g^2 - l^2 > 0$ , ou  $g > l$ ;

A tensão total é definida como:

$$\sigma = \tau - \frac{\partial \mu}{\partial x} = E(u' - g^2 u'') = \sigma_{11} \quad (8-2)$$

### 8.3. Princípio dos Trabalhos Virtuais

Na variação da energia potencial é considerado além dos termos clássicos o trabalho realizado pelas forças de segunda ordem  $R$  ao longo dos deslocamentos de segunda ordem e assim é possível chegar a seguinte expressão da Energia Potencial

Total:

$$\delta \Pi = A \int_0^L (\tau \delta u' + \sigma \delta u'') dx - \int_0^L q \delta u dx + P \delta u|_0^L + P \delta u'|_0^L \quad (8-3)$$

Integrando por partes obtém se:

$$\delta \Pi = \int_0^L [q + A(\tau' - \mu'') \delta u] dx + [P - A(\tau - \mu')] \cdot \delta u|_0^L + [R - A\mu' \cdot \delta u']|_0^L \quad (8-4)$$

Obtendo-se assim a primeira parcela da integral que representa a equação diferencial de deslocamentos:

$$u'' - g^2 u^{iv} + \frac{q(x)}{AE} = 0 \quad (8-5)$$

Da segunda e terceira parcela obtém-se as condições de contorno clássicas e não-clássicas respectivamente.

$$\begin{aligned} [P - A(\tau - \mu')] \delta u|_0^L &= 0 \\ [R - A\mu' \delta u']|_0^L &= 0 \end{aligned} \quad (8-6)$$

### 8.4. Princípio de Forças Virtuais

Similarmente, pode-se esboçar o problema em função de forças virtuais mediante as seguintes considerações:

$u, u'$ , variáveis em  $\Omega$ .

$\tilde{u}, \tilde{u}'$ , variáveis em  $\Gamma$ .

$\delta\tau, \delta\mu$ , variações de  $\tau$  e  $\mu$  em  $\Omega$ .

No sistema de coordenadas ilustrado na Figura 11 representa-se com duplas flechas as coordenadas (2) e (3), que são os graus de liberdade de segunda ordem  $u$  e  $u'$  da equação (8-10):

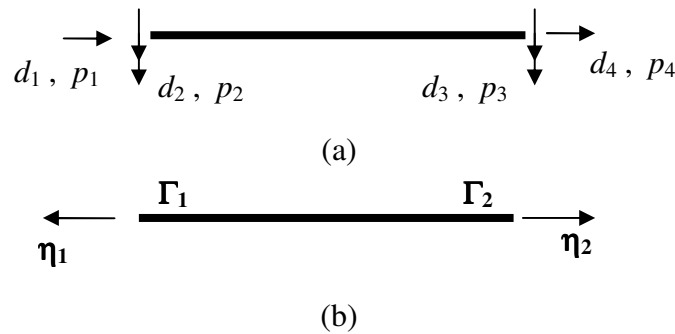


Figura 33.- (a) Sistema de Coordenadas da matriz de rigidez; e (b) definição do domínio  $\Omega$ , os contornos  $\Gamma_1, \Gamma_2$  correspondentes aos cossenos diretores  $\eta_1$  e  $\eta_2$  do elemento.

Para ter certeza da compatibilidade de deslocamentos deve-se cumprir-se o seguinte:

$$A \int_0^L [(u - \tilde{u})' \delta\tau + (u - \tilde{u})'' \delta\mu] dx = 0 \quad (8-7)$$

que integrada por partes fica:

$$-A \int_0^L [(u - \tilde{u})(\delta\tau' - \delta\mu'')] dx + A(u - \tilde{u})\delta P|_0^L + A(u - \tilde{u})'\delta R|_0^L = 0 \quad (8-8)$$

Quando se considera o sistema de coordenadas conforme ilustrado na Figura 33 e as condições de contorno (8-9), obtém-se:

$$\begin{aligned} u(x=0) &= u_1, \quad u'(x=0) = u'_1 \\ u(x=L) &= u_2, \quad u'(x=L) = u'_2 \\ P(x=0) &= P_1, \quad R(x=0) = R_1 \\ P(x=L) &= P_2, \quad R(x=L) = R_2 \end{aligned} \quad (8-9)$$

que podem ser escritos como:

$$\langle u \quad u' \rangle \cdot \left\{ \begin{array}{c} \delta P \\ \delta R \end{array} \right\} \Big|_{x=0}^{x=L} = \langle \tilde{u} \quad \tilde{u}' \rangle \cdot \left\{ \begin{array}{c} \delta P \\ \delta R \end{array} \right\} \Big|_{x=0}^{x=L} \quad (8-10)$$

### 8.5. Equações de Movimento Longitudinal de uma Barra a Tensão

É possível a obtenção da equação de movimento para uma barra a tensão pura mediante a equação de equilíbrio de Newton:

$$A \frac{\partial \sigma}{\partial x} + q(x) = \rho \ddot{u} \quad (8-11)$$

onde:

$\rho$ : é a densidade de massa por unidade de comprimento.

$$\sigma = E ( u' - g^2 u''') : \text{tensão total.} \quad (8-12)$$

Com (8-11) e (8-12) obtém-se finalmente a equação de movimento de uma barra com tensão axial pura na elasticidade gradiente:

$$AE(u'' - u^{iv} g^2) + q(x) = \rho \ddot{u} \quad (8-13)$$

Através da mudança de variáveis  $u = u^* e^{-\omega t}$ , e considerando  $q(x)=0$ , obtém-se a equação de deslocamentos no domínio da frequência:

$$u^{*iv} g^2 - u^{*''} + \frac{\rho}{AE} \omega^2 u^* = 0 \quad (8-14)$$

cuja solução é:

$$u^* = c_1 \sin(k_1 x) + c_2 \sinh(k_2 x) + c_3 \cos(k_1 x) + c_4 \cosh(k_2 x) \quad (8-15)$$

onde:

$$k_1 = \frac{\sqrt{2\sqrt{1+4\omega^2 g^2 \alpha} - 2}}{2g}, \quad k_2 = \frac{\sqrt{2\sqrt{1+4\omega^2 g^2 \alpha} + 2}}{2g}, \quad \alpha = \rho/AE \quad (8-16)$$

sendo a densidade do sólido  $\rho$ , a área da seção transversal  $A$  e o módulo de elasticidade do material  $E$ . Para o caso estático é preciso considerar  $\omega=0$  e a solução da equação diferencial do problema resulta em:

$$\begin{aligned} u^* &= c_1 e^{(-x/g)} + c_2 e^{(x/g)} + c_3 x + c_4 \quad \delta \\ &= \begin{bmatrix} e^{(-x/g)} & e^{(x/g)} & x & 1 \end{bmatrix} \cdot [c_1 \quad c_2 \quad c_3 \quad c_4]^T \end{aligned} \quad (8-17)$$

cujas equações de contorno foram estabelecidas previamente em (8-9) e (8-10).

A seguir o vetor  $u^*$  é definido para o cálculo dos termos que serão utilizados na formulação híbrida do problema:

$$u^* = \begin{bmatrix} e^{(-x/g)} & e^{(x/g)} & x & 1 \end{bmatrix} \quad (8-18)$$

que, conseqüentemente, define as grandezas correspondentes ao contorno:

$$u_1^* = u|_{x=0}, \quad u_2^* = u|_{x=L} \quad (8-19)$$

## 8.6. Formulação Híbrida na Elasticidade Gradiente de uma Barra sujeita a tensão axial pura

A solução da equação diferencial de deslocamentos pode ser descrita em termos dos graus de liberdade  $u, u'$ , numa barra submetida a tensão pura no âmbito da elasticidade gradiente. A configuração do esboço matricial é análoga ao desenvolvimento para flexão realizado por Oliveira [26], onde também se considera o elemento unidimensional com dois graus de liberdade. Esse enfoque facilita o procedimento da solução do presente problema.

O deslocamento generalizado de uma barra é:

$$u = \begin{bmatrix} u \\ u' \end{bmatrix} = \begin{bmatrix} u_1^* & u_2^* & u_3^* & u_4^* \\ u_1^{*'} & u_2^{*'} & u_3^{*'} & u_4^{*'} \end{bmatrix} p^* = u^* p^* \quad (8-20)$$

onde:

$\mathbf{p}^* = [p_1^*, p_2^*, p_3^*, p_4^*]^T$ ; pode ser interpretado como um vetor base de um sistema interno auxiliar de coordenadas distinguido pelo símbolo (\*).

$$\mathbf{u}^* = \mathbf{u}^*(x)$$

Com essa consideração é possível também definir as forças internas generalizadas da barra como:

$$\begin{aligned} \begin{bmatrix} \tau \\ \mu \end{bmatrix} &= E \begin{bmatrix} \frac{\partial}{\partial x} & l \frac{\partial}{\partial x} \\ l \frac{\partial}{\partial x} & g^2 \frac{\partial}{\partial x} \end{bmatrix} \cdot \begin{bmatrix} u_1^* & u_2^* & u_3^* & u_4^* \\ u_1^{*'} & u_2^{*'} & u_3^{*'} & u_4^{*'} \end{bmatrix} \begin{bmatrix} p_1^* & p_2^* & p_3^* & p_4^* \end{bmatrix}^T \\ &= E \cdot \mathbf{D}_1 \mathbf{u}^* \mathbf{p}^* \end{aligned} \quad (8-21)$$

onde  $\mathbf{D}_1$  é o operador de deslocamentos do sistema interno (\*). Abaixo são definidas matricialmente as forças do sistema externo da barra:

$$\begin{aligned} \begin{bmatrix} P \\ R \end{bmatrix} &= AE \begin{bmatrix} \frac{\partial}{\partial x} & -g^2 \frac{\partial^2}{\partial x^2} \\ l \frac{\partial}{\partial x} & +g^2 \frac{\partial}{\partial x} \end{bmatrix} \cdot \begin{bmatrix} u_1^* & u_2^* & u_3^* & u_4^* \\ u_1^{*'} & u_2^{*'} & u_3^{*'} & u_4^{*'} \end{bmatrix} \cdot \mathbf{p}^* \\ &= AE \cdot \mathbf{D}_2 \cdot \mathbf{u}^* \cdot \mathbf{p}^* \end{aligned} \quad (8-22)$$

onde  $\mathbf{D}_2$  é um segundo operador matricial de deslocamentos do sistema interno (\*). Cabe mencionar que a dimensão da força de segunda ordem é força×comprimento, e que o deslocamento correspondente a  $u'$  é adimensional, análogo ao caso de flexão de vigas. No caso de tensão pura o deslocamento de segunda ordem é a deformação longitudinal.

Neste caso é fácil provar que a força  $P(x)$  e a tensão normal ao longo da barra são constantes,  $P(x) = p_3^* AE$ , e  $\sigma = p_3^*$ . Efetivamente, expandindo-se a equação (8-18) e utilizando-se a expressão para força de superfície (8-22), obtém-se:

$$\begin{aligned} P(x) &= AE(u' - g^2 u''') \\ &= AE \left[ (-p_1^* e^{-x/g} / g + p_2^* e^{x/g} / g + p_3^* 1) - g^2 (-p_1^* e^{-x/g} / g^3 + p_2^* e^{x/g} / g^3) \right] \\ &= AE p_3^* \end{aligned} \quad (8-23)$$

Para o cálculo da matriz  $\mathbf{H}$  apresenta-se a seguir da determinação dos termos que serão necessários:

$$\mathbf{N}^* = \mathbf{D}_2 \mathbf{u}^*; \quad \mathbf{N}_1^* = \mathbf{N}^* \Big|_{x=0} \quad \mathbf{N}_2^* = \mathbf{N}^* \Big|_{x=L}$$

$$\mathbf{u}_1 = \mathbf{u}|_{x=0} = \mathbf{u}^*|_{x=0} \cdot \mathbf{p}^* = \mathbf{u}_1^* \cdot \mathbf{p}^* \quad (8-24)$$

$$\mathbf{u}_2 = \mathbf{u}|_{x=L} = \mathbf{u}^*|_{x=L} \cdot \mathbf{p}^* = \mathbf{u}_2^* \cdot \mathbf{p}^*$$

Desta forma é possível caracterizar um sistema vetorial de deslocamentos de todos os graus de liberdade da barra mediante as seguintes matrizes de transformação de coordenadas e os vetores cossenos diretores dela:

$$\left. \begin{aligned} \begin{Bmatrix} u \\ u' \end{Bmatrix}_1 &= \begin{bmatrix} 1 & 0 & 0 & 0 \\ 0 & 1 & 0 & 0 \end{bmatrix} \begin{Bmatrix} d_1 \\ d_2 \\ d_3 \\ d_4 \end{Bmatrix} = \mathbf{N}_1 \mathbf{d} ; \quad \eta_1 = \begin{bmatrix} -1 & 0 \\ 0 & -1 \end{bmatrix} \text{ em } \Gamma_1 \\ \\ \begin{Bmatrix} u \\ u' \end{Bmatrix}_2 &= \begin{bmatrix} 0 & 0 & 1 & 0 \\ 0 & 0 & 0 & 1 \end{bmatrix} \begin{Bmatrix} d_1 \\ d_2 \\ d_3 \\ d_4 \end{Bmatrix} = \mathbf{N}_2 \mathbf{d} ; \quad \eta_2 = \begin{bmatrix} 1 & 0 \\ 0 & 1 \end{bmatrix} \text{ em } \Gamma_2 \end{aligned} \right\} \quad (8-25)$$

As expressões em (8-5) permitem calcular a matriz de rigidez cinemática  $\mathbf{H}$  que transforma os deslocamentos do sistema auxiliar (\*) ao sistema global ilustrado na Figura 33.

$$\mathbf{H} = \mathbf{N}_1^{*T} \eta_1 \mathbf{N}_1 + \mathbf{N}_2^{*T} \eta_2 \mathbf{N}_2 \quad (8-26)$$

Também é possível calcular a matriz de flexibilidade no sistema interno (\*)

$$\mathbf{F} = \mathbf{N}_1^* \eta_1 \mathbf{u}_1^* + \mathbf{N}_2^* \eta_2 \mathbf{u}_2^* \quad (8-27)$$

De forma análoga a matriz de rigidez no sistema global  $\mathbf{K}$  é obtida de duas formas:

$$\mathbf{K} = \mathbf{H}^T \mathbf{U}^{*-1} = \mathbf{H}^T \mathbf{F}^{-1} \mathbf{H} \quad (8-28)$$

onde:

$$\mathbf{U}^* = \begin{bmatrix} \mathbf{u}_1^* \\ \mathbf{u}_2^* \end{bmatrix} \text{ obtida por meio de (8-18) e (8-19).} \quad (8-29)$$

Finalmente, obtém-se o vetor de deslocamentos com:

$$\mathbf{d} = \mathbf{K}^{-1} \mathbf{p} \quad (8-30)$$

$$\mathbf{u}(x) = \mathbf{u}^*(x)(\mathbf{U}^*)^{-1} \mathbf{d} \quad (8-31)$$

onde  $\mathbf{u}^*$  é obtido com (8-18),  $\mathbf{U}^*$  com (8-29) e  $\mathbf{d}$  são os deslocamentos mostrados segundo os grados de liberdade da Figura 33.

### 8.6.1. Análise no Domínio da Freqüência.

Utilizando a expressão de  $\mathbf{K} = \mathbf{H}^T \mathbf{U}^{*-1}$  tem-se algebricamente a matriz  $\mathbf{K}_{[4 \times 4]}$ . Fazendo a mudança de variáveis  $C = \cosh(k_1 L)$ ;  $S = \sinh(k_1 L)$ ;  $c = \cos(k_2 L)$ ;  $s = \sin(k_2 L)$  obtém-se os termos de  $\mathbf{K}$ :

$$K[1,1] = -AE \frac{g^2 (k_1^3 Cs + Sck_1^2 k_2 + Csk_2^2 k_1 + Sck_2^3) k_2 k_1}{Ssk_2^2 + sSk_1^2 + 2Cck_2 k_1 - 2k_2 k_1}$$

$$K[1,2] = -AE (2Cck_1^3 + Ssk_1^2 - 2k_1 k_2 + g^2 Cck_1^3 k_2 + g^2 Ssk_1^4 - g^2 k_1^3 k_2 - Ssk_2^2 + g^2 Ssk_2^4 - g^2 k_2^3 k_1) / (-Ssk_2^2 + sSk_1^2 + 2Cck_2 k_1 - 2k_2 k_1)$$

$$K[1,3] = g^2 AE \frac{(k_1^3 s + Sk_1^2 k_2 + sk_2^2 k_1 + Sk_2^3) k_1 k_2}{-Ssk_2^2 + sSk_1^2 + 2Cck_2 k_1 - 2k_1 k_2}$$

$$K[1,4] = g^2 AE \frac{(-Ck_1^2 + ck_1^2 - Ck_2^2 + ck_2^2) k_2 k_1}{-Ssk_2^2 + sSk_1^2 + 2Cck_1 k_2 - 2k_2 k_1}$$

$$K[2,2] = -g^2 AE \frac{(-cSk_1 + sCk_2)(k_2^2 + k_1^2)}{-Ssk_2^2 + sSk_1^2 + 2Cck_2 k_1 - 2k_2 k_1}$$

$$K[2,3] = -g^2 AE \frac{(-Ck_1^2 + ck_1^2 - Ck_2^2 + ck_2^2) k_2 k_1}{-Ssk_2^2 + sSk_1^2 + 2Cck_1 k_2 - 2k_2 k_1}$$

$$K[2,4] = g^2 AE \frac{(-Sk_1 + sk_2)(k_2^2 + k_1^2)}{-Ssk_2^2 + sSk_1^2 + 2Cck_2 k_1 - 2k_2 k_1}$$

$$K[3,3] = -g^2 AE \frac{(Csk_1^3 + Sck_1^2 k_2 + Csk_2^2 k_1 + Sck_2^3) k_2 k_2}{-Ssk_2^2 + sSk_1^2 + 2Cck_1 k_2 - k_1 k_2}$$



$$\begin{aligned}
K[3,4] &= -AE(-2Cck_1 k_2 + c^2 k_1 k_2 + Ccg^2 k_1^3 k_2 + c^2 g^2 k_1^3 k_2 + C^2 k_1 k_2 \\
&\quad - C^2 g^2 k_1 k_2^3 + Ccg^2 k_1 k_2^3 - sSk_1^2 + s^2 k_1 k_2 - sSg^2 k_1^4 + s^2 g^2 k_1^3 k_1 \\
&\quad - S^2 k_1 k_2 + Ssk_2^2 + S^2 g^2 k_1 k_2^3 - Ssg^2 k_2^4) / \\
&\quad (-Ssk_2^2 + Ssk_1^2 + 2Cck_1 k_2 - 2k_1 k_2) \\
K[4,4] &= -AEg^2 \frac{sCk_1^2 k_2 - Sck_1 k_2^2 - cSk_1^3 + sCk_2^3}{-Ssk_2^2 + Ssk_1^2 + 2Cck_1 k_2 - 2k_1 k_2}
\end{aligned} \tag{8-32}$$

onde  $k_1$  e  $k_2$  são apresentados na expressão (8-16).

### 8.6.2. Análise Estática

Considerando-se o sistema de coordenadas ilustrado na Figura 11, escreve-se a solução de deslocamentos generalizados como:

$$\mathbf{u} = \begin{bmatrix} u \\ u' \end{bmatrix} = \begin{bmatrix} e^{x/g} & e^{-x/g} & x & 1 \\ e^{x/g}/g & e^{-x/g}/g & 1 & 0 \end{bmatrix} \mathbf{p}^* = \mathbf{u}^* \cdot \mathbf{p}^* \tag{8-33}$$

Utilizando-se as equações (8-24), (8-25) e (8-26) obtém-se a expressão de  $\mathbf{H}$ :

$$\begin{aligned}
\mathbf{H} &= \mathbf{N}_1^{*T} \eta_1 \mathbf{N}_1 + \mathbf{N}_2^{*T} \eta_2 \mathbf{N}_2 \\
&= AE \cdot \begin{bmatrix} 0 & -(1+\ell/g) & 0 & \ell \cdot e^{L/g}/g + e^{L/g} \\ 0 & -(1-\ell/g) & 0 & -\ell e^{-L/g}/g + e^{-L/g} \\ -1 & -\ell & 1 & \ell \\ 0 & 0 & 0 & 0 \end{bmatrix}
\end{aligned} \tag{8-34}$$

Com (8-29) obtém-se a matriz  $\mathbf{U}^*$  para o problema:

$$\mathbf{U}^* = \begin{bmatrix} 1 & 1 & 0 & 1 \\ 1/g & -1/g & 1 & 0 \\ e^{L/g} & e^{-L/g} & L & 1 \\ \ell \cdot e^{L/g}/g & -e^{-L/g}/g & 1 & 0 \end{bmatrix} = \begin{bmatrix} \mathbf{u}_1^* \\ \mathbf{u}_2^* \end{bmatrix} \tag{8-35}$$

Finalmente, para o caso estático de uma barra de elasticidade gradiente a matriz  $\mathbf{K}$ , admite a seguinte expressão:

$$\mathbf{K} = \mathbf{H}^T \mathbf{U}^{*-1}$$

$$= \frac{AE}{L \cdot \beta} \cdot \begin{bmatrix} 1 & g(C-1)/S & -1 & g(C-1)/S \\ g(C-1)/S & K_{22} & g(C-1)/S & g(gS-L)/S \\ -1 & -g(C-1)/S & 1 & -g(C-1)/S \\ g(C-1)/S & g(gS-L)/S & -g(C-1)/S & K_{44} \end{bmatrix} \quad (8-36)$$

onde:

$$\beta = 1 + 2g/LS - 2gC/LS$$

$$K_{22} = +2g\ell/S + (g^2 - L\ell) - C/Sg(L+2\ell)$$

$$K_{44} = -2g\ell/S + (g^2 - L\ell) - C/Sg(L-2\ell)$$

$$S = \sinh(L/g) ; C = \cosh(L/g)$$

$L$  : comprimento da barra

$A$ : área da seção transversal

$E$ : módulo de elasticidade do material

Deve-se mencionar que o Posto( $K$ )=3 para o caso estático.

Além disso, pode-se analisar o caso limite quando  $g$  tende a zero:

$$\lim_{g \rightarrow 0} \left[ \frac{\sinh(L/g)}{\cosh(L/g)} \right] = 1 ; \lim_{g \rightarrow 0} [S/C] = 1 ; \lim_{g \rightarrow 0} [1/S] = 0 \quad (8-37)$$

Obtendo consistentemente a matriz de rigidez clássica

$$K_{clásico} = \lim_{g \rightarrow 0} K = \frac{AE}{L} \begin{bmatrix} 1 & 0 & -1 & 0 \\ 0 & 0 & 0 & 0 \\ -1 & 0 & 1 & 0 \\ 0 & 0 & 0 & 0 \end{bmatrix} \quad (8-38)$$

## 8.7. Exemplos

Nesta seção são resolvidos diferentes tipos de exemplos que tem como objetivo mostrar a sensibilidade do problema de tensão pura para as condições de contorno não-clássicas.

### Exemplo 1

K. G. Tsepoura et al [1] desenvolveu o seguinte problema com as condições de contorno ilustradas na Figura 12 que permitem calcular os coeficientes da solução de deslocamentos. Neste trabalho obteve-se a solução através do método da rigidez direta com a matriz  $\mathbf{K}$  obtida na seção anterior:

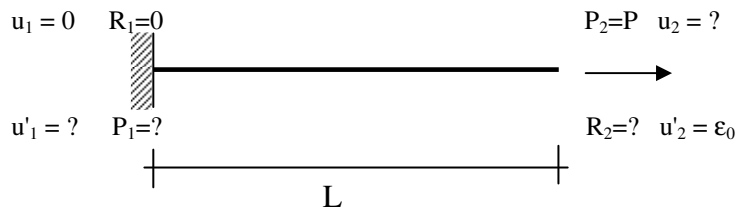


Figura 34. - Condições de contorno de uma barra gradiente elástica engastada.

Os termos da matriz obtida em (8-36) podem ser substituídos por  $a, b, c, d$  e  $e$  na seguinte equação correspondente à conhecida relação do método da rigidez:

$$\mathbf{Kd} = \mathbf{P} \equiv \frac{AE}{L\beta} \cdot \begin{bmatrix} 1 & g(C-1)/S & -1 & g(C-1)/S \\ g(C-1)/S & K_{22} & g(C-1)/S & g(gS-L)/S \\ -1 & -g(C-1)/S & 1 & -g(C-1)/S \\ g(C-1)/S & g(gS-L)/S & -g(C-1)/S & K_{44} \end{bmatrix} \cdot \begin{Bmatrix} d_1 = 0 \\ d_2 \\ d_3 \\ d_4 = \varepsilon_0 \end{Bmatrix}$$

$$= \frac{AE}{L\beta} \cdot \begin{bmatrix} a & b & -a & b \\ b & c & -b & -d \\ -a & -b & a & -b \\ b & -d & -b & e \end{bmatrix} \cdot \begin{Bmatrix} d_1 = 0 \\ d_2 \\ d_3 \\ d_4 = \varepsilon_0 \end{Bmatrix} = \begin{Bmatrix} p_1 \\ p_2 = 0 \\ p_3 = P \\ p_4 \end{Bmatrix}$$

(8-39)

cuja solução é:

$$d = \begin{Bmatrix} 0 \\ \frac{Pb + b^2e - ad\varepsilon_0}{b^2 - a \cdot c} \\ \frac{Pc + bc\varepsilon_0 - bd\varepsilon_0}{b^2 - ac} \\ \varepsilon_0 \end{Bmatrix} \frac{L\beta}{AE}; \quad \mathbf{P} = \begin{Bmatrix} -P \\ 0 \\ P \\ R_0 \end{Bmatrix} \quad (8-40)$$

onde:

$$R_0 = (Pbd - Pbc + 2b^2d\varepsilon_0 - ad^2\varepsilon_0 - b^2c\varepsilon_0 + aec\varepsilon_0 - eb^2\varepsilon_0)/(b^2 - ac) \quad (8-41)$$

Neste caso, é possível observar o surgimento de uma força dupla. Por equilíbrio, a força de tensão clássica tem que ser constante ao longo da barra. Os deslocamentos podem ser calculados através da expressão (8-31) e são ilustrados na Figura 35 para um intervalo de valores de  $\ell/g = [0.01 \dots 0.3]$  e  $g/L = [0.01 \dots 0.5]$  (para  $\ell = 0$ ).

$$u(x) = \begin{bmatrix} u(x) \\ u'(x) \end{bmatrix} = u^*(x)U^{*-1} \cdot \begin{Bmatrix} d_1 \\ d_2 \\ d_3 \\ d_4 \end{Bmatrix} \quad (8-42)$$

Na Figuras 13 visualiza-se o comportamento dos deslocamentos  $u$  crescente no eixo  $x$ , e distinguir a diferença da deformação com o caso clássico onde  $u' = \varepsilon = \text{constante}$ . Na Figura 13 (d) se aprecia como no caso não clássico a deformação é decrescente fortemente a partir da metade do comprimento da barra enquanto  $\ell/g$  varia e  $g/L$  mantém-se constante. Neste caso, é apreciável a influência do parâmetro  $\ell/g$ , que é função de  $D/L$ , relação do diâmetro das microestruturas entre o comprimento da barra.

Deve-se mencionar que esse exemplo reflete a metade do caso de uma barra submetida a duas tensões  $P$  em ambos os extremos de comprimento  $2L$ . A Figura 13 (d) não mostra a possibilidade de uma simetria na deformação neste caso, gerando-se a dúvida se é apropriado o uso da constante  $\ell$  que é omitida por Elias Aifantis [7].

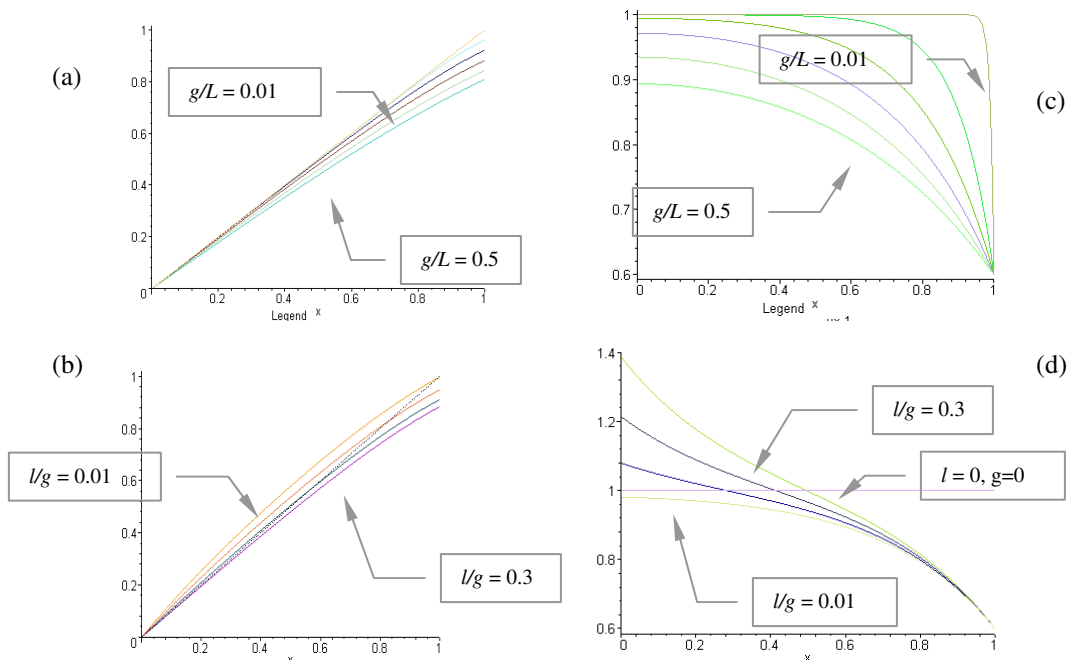


Figura 35. - Resultado dos Deslocamentos e Deformações de uma Barra de elasticidade gradiente submetida tensão pura; (a) sensibilidade de  $u$  a  $g/L$  (b) sensibilidade de  $u$  a  $l/g$  (c) sensibilidade de  $u'$  a  $g/L$  (d) sensibilidade de  $u'$  a  $l/g$ .

### Funções de Forma Não-clássicas

A equação das funções de forma de uma barra de elasticidade gradiente pode ser calculada mediante a seguinte expressão do método híbrido de elementos de contorno e apresentada na Figura 36 para um intervalo de  $g/L=[0.01, 0.5]$ .

$$\mathbf{B} = \mathbf{u}^* \cdot \mathbf{U}^{*-1} \quad (8-43)$$

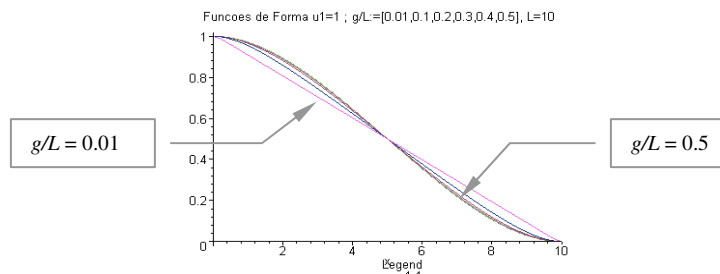


Figura 36. - Funções de Forma de uma Barra de Elasticidade Gradiente a tensão.

### Exemplo 2

Se é considerado um campo de deslocamentos  $\mathbf{d}$  clássico com o eixo de coordenadas localizado no meio da barra, tem-se:

$$\mathbf{d} = \begin{Bmatrix} -1/2 \\ 1/L \\ 1/2 \\ 1/L \end{Bmatrix} \quad (8-44)$$

então a solução fica clássica.

Se  $\ell = 0$  e a matriz de rigidez geral apresentada na expressão (8-36) for arranjada de forma a identificar um sistema externo, correspondente aos deslocamentos clássicos, e um sistema interno, correspondente aos deslocamentos não clássicos, a matriz  $\mathbf{K}$  poder ser representada pela seguinte expressão:

$$\mathbf{K} = \begin{bmatrix} \mathbf{K}_{ii} & \mathbf{K}_{ie} \\ \mathbf{K}_{ei} & \mathbf{K}_{ee} \end{bmatrix} \quad (8-45)$$

e se são consideradas nulas as forças de segunda ordem, então é possível pensar numa condensação estática,  $\mathbf{K}_{cond} = \mathbf{K}_{ee} - \mathbf{K}_{ei} \mathbf{K}_{ii}^{-1} \mathbf{K}_{ie}$ , a qual fica também clássica.

**Exemplo 3:**

A natureza do grau de liberdade não clássico é semelhante à flexão de uma viga e por isso a seguir é feita uma analogia das equações para tensão pura da elasticidade gradiente com a flexão tradicional da elasticidade clássica.

$$\theta = dy/dx$$

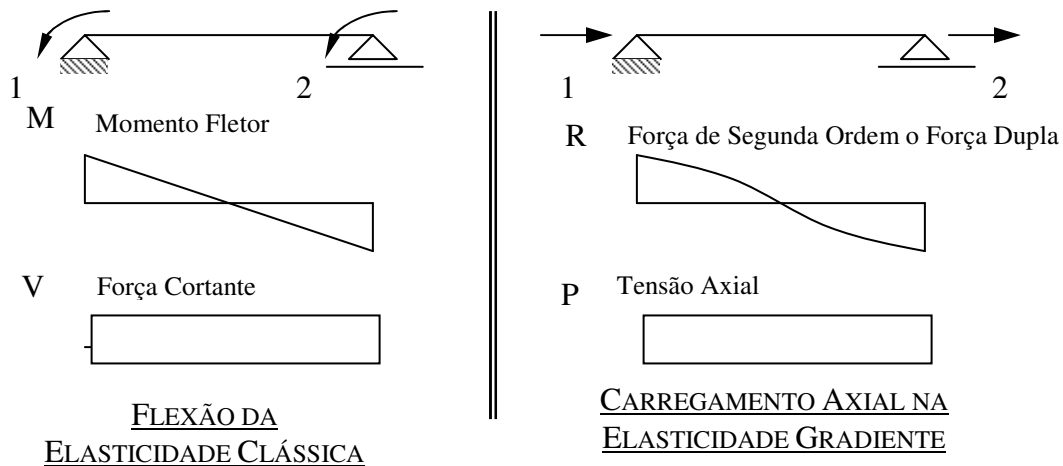
$$M = EIy'' = M_1(1-x/L) + x/LM_2$$

$$V = dM/dx = cte.$$

$$u' = du/dx$$

$$R = EA(g^2 u'')$$

$$P = EA(u' - g^2 u''') = cte.$$

Caso 1

$$BC (1) u_1 = -u_2$$

$$u_1 = u(x = -L/2) = c_1 \sinh(-L/2g) - c_2 L/2$$

$$u_2 = u(x = +L/2) = c_1 \sinh(+L/2g) + c_2 L/2$$

$$u_2 = -u_1 = c_1 \sinh(+L/2g) + c_2 L/2; \text{ OK } \forall c_1, c_2$$

(8-46)

$$BC (2) u'_1 = u'_2$$

$$u'_1 = c_1/g \cosh(-L/2g) + c_2 ;$$

$$u'_2 = c_1/g \cosh(+L/2g) + c_2 = u'_1 ; \text{ OK } \forall c_1, c_2$$

(8-47)

BC (3)  $R_1 = -R_2$

$$R(x) = EA(l u' + g^2 u'') = EA[2 \ell c_1/g \cosh(x/g) + 2c_1 \sinh(x/g) + c_2 \ell] \quad (8-48)$$

por tanto se  $R_1 = R(x = -L/2) = -R_2 = -R(x = L/2)$ , então

$$c_1 = \frac{-c_2 \cdot g}{2 \cosh(L/2g)} \neq 0, \quad \forall \ell \quad (8-49)$$

Este valor de  $c_1$  é independente do valor de  $\ell$ . É interessante mencionar que  $c_1$  está condicionado pelos valores de contorno de  $R$ , e que  $R$  está condicionado pelos valores de  $\ell$ , mas  $c_1$  não depende dos valores de  $\ell$  para as condições de contorno descritas.

BC (4)  $P_1 = P_2 = P(x) = P$  constante

$$P(x) = EA(u' - g^2 u''') = EA c_2$$

portanto  $c_2 = P/EA$

Finalmente,

$$u(x) = \frac{P}{EA} \left[ \frac{-g \sinh(x/g)}{\cosh(L/2g)} + x \right]; \quad \forall l \quad (8-50)$$

Neste caso, é interessante analisar primeiro o comportamento da força de segunda ordem longitudinalmente para diferentes valores de  $g$  e  $\ell$  de acordo com ilustrado na Figura 37. Nos gráficos apresentados nessa figura pode-se verificar que as condições de contorno simétricas não resultam em resultados simétricos, e isso apenas para  $\ell = 0$ . Dessa forma, a simplificação apresentada em Aifantis [7], quem usa só 1 variável não clássica, é aparentemente mais consistente em uma interpretação física do problema.



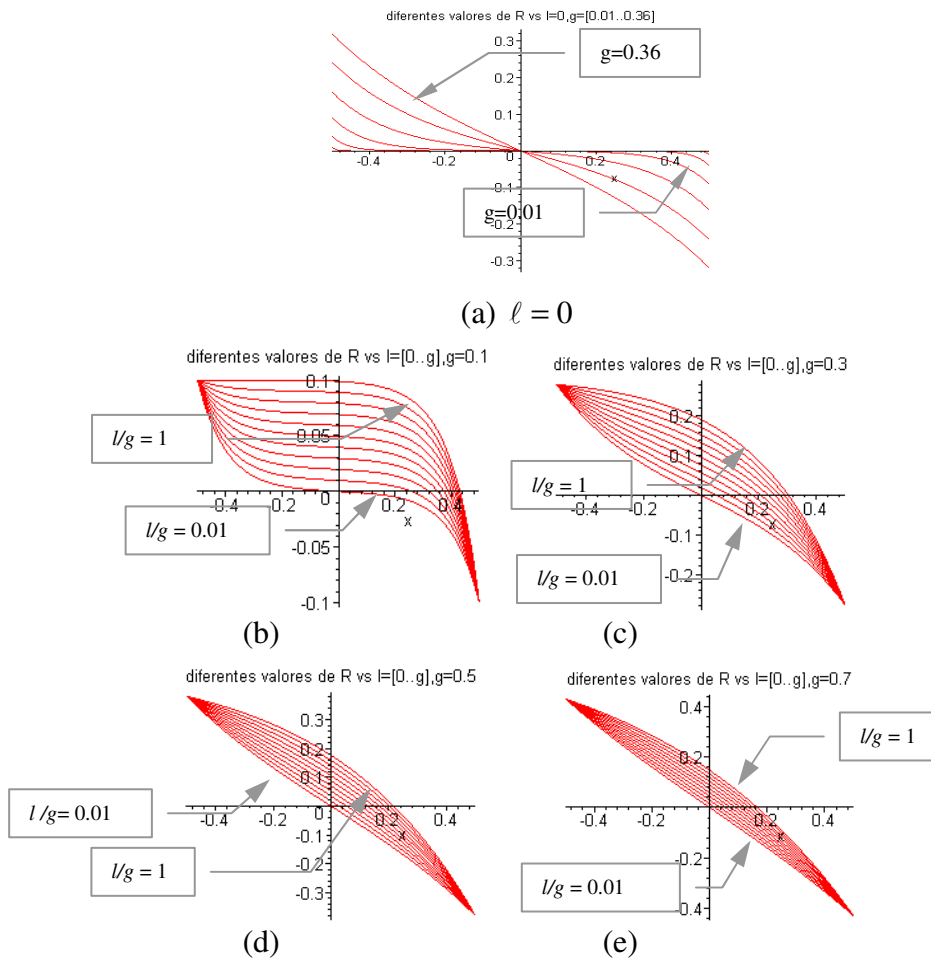


Figura 37 . - Comportamento da Força de Segunda Ordem  $R$  para diferentes valores de  $l$ , Exemplo 3; (a)  $l = 0$  (b)  $g = 0.1$  (c)  $g = 0.3$  (d)  $g = 0.5$  (e)  $g = 0.7$

### Comportamento de $u(x)$ e $u'(x)$

O comportamento de deslocamento  $u(x)$  para diferentes quocientes  $g/L$  mostra a tendência para o caso clássico quando este tende a zero. Similarmente, acontece com as deformações, as quais são independentes do valor  $l$ . Outro aspecto interessante é que em diferentes condições de contorno as deformações nas extremidades mantêm-se nulas.

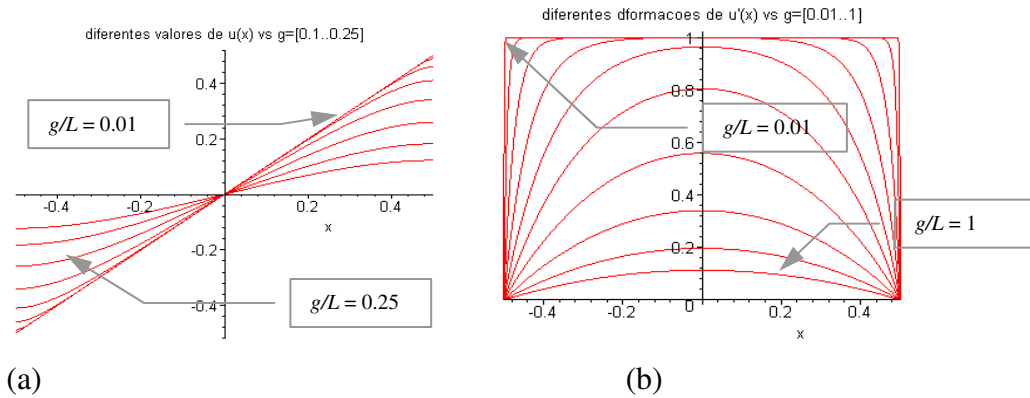


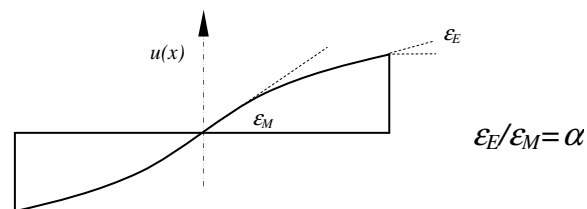
Figura 38. - Deslocamentos (a) e deformações (b) no problema de tensão pura na elasticidade gradiente

### Caso 2

Para  $R_1=R_2$  a solução é totalmente clássica para valores quaisquer de  $g$  e  $\ell$ .

### Caso 3

Neste caso, considerou-se  $\ell = 0$  e uma condição de contorno que permita obter uma distribuição de deformações que não seja nula nas extremidades, tal como é mostrado no seguinte esquema:



os resultados  $u(x)$  são ilustrados na Figura 39 e  $u'(x)$  na Figura 40:

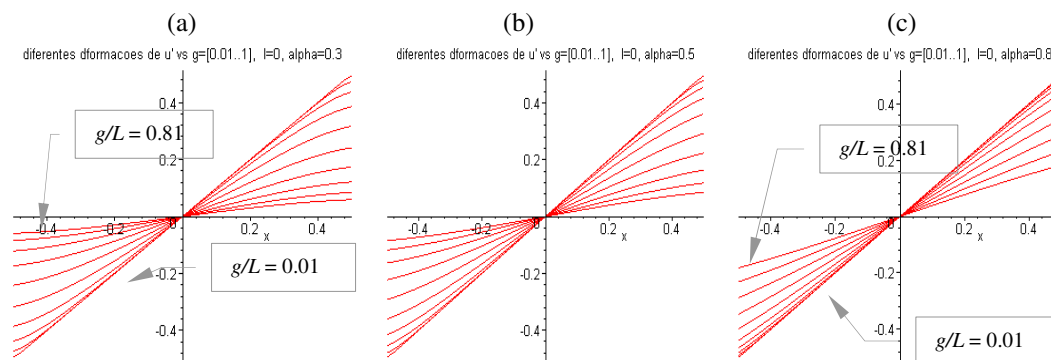


Figura 39 . - Deslocamentos  $u(x)$  barra a tensão, Exemplo 3. para diferente valores de  $\alpha$ :  
(a)  $\alpha = 0.3$  (b)  $\alpha = 0.5$  (c)  $\alpha = 0.8$ .

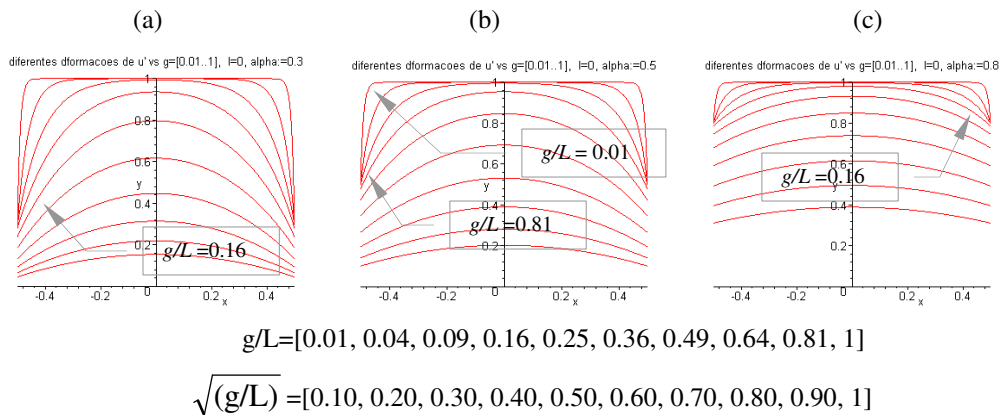
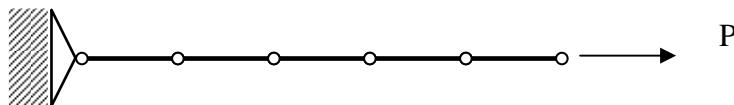


Figura 40. - Deformação  $u'(x)$  de uma Barra a Tensão,  $\alpha$ : (a)  $\alpha = 0.3$  (b)  $\alpha = 0.5$  (c)  $\alpha = 0.8$ . Exemplo 3.

#### Exemplo 4

Realizou-se o exemplo de superposição modal e foi comparado com o modelo clássico desenvolvido por Oliveira [26] para uma barra dividida em cinco elementos e submetida a uma força pulso. O esquema geral do problema é ilustrado na Figura 41. No problema desenvolvido não foi considerado o amortecimento da estrutura.



Dados do problema:  $A=1$ ,  $L=1$ ,  $E=1000$ ,  $\rho=0$ ,  $\zeta=0$ .

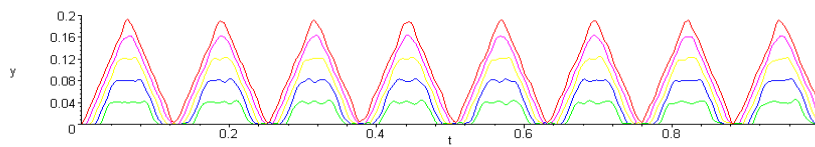
Figura 41. - Barra com um extremo engastado e outro livre submetida a uma força pulso. Barra discretizada em 5 elementos por Oliveira [26].

Esse problema foi resolvido para diferentes valores de  $g$ . Observa-se que quando  $g \rightarrow 0$  a solução do problema se assemelha à solução clássica. Por outro lado enquanto  $g$  cresce também cresce a frequência de vibração. Na Figura 42 é ilustrada a resposta do problema com diferentes cores que representam a resposta dos cinco graus de liberdade clássicos da barra, sendo o valor superior o pertencente ao extremo da barra.

As condições iniciais são  $u(x,t=0) = -Px/EA$  e  $\partial u(x,t=0)/\partial t = 0$ . Para a expansão das séries no domínio da frequência foi utilizado  $n=4$  ( $\omega^8$ ), valor mostrado por Oliveira [26] como o menor valor que fornece a solução mais próxima e razoável à solução analítica.

Basicamente pode-se concluir que o efeito da escala na vibração livre de barras faz com que a frequência aumente enquanto o tamanho relativo das partículas torna-se grande.

### Caso Clássico

(i)  $g=0$ 

### Caso no Clássico

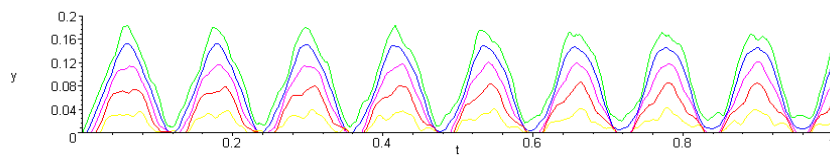
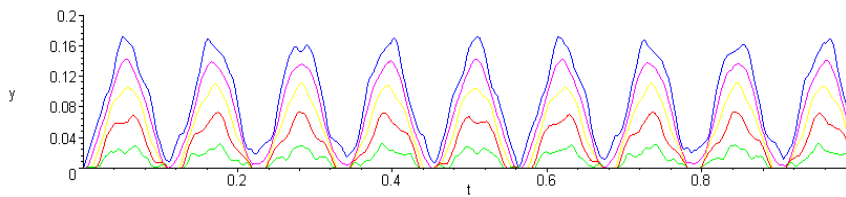
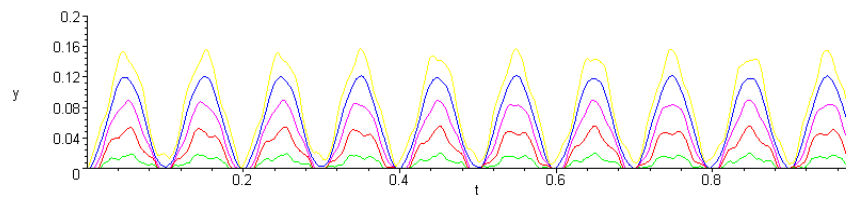
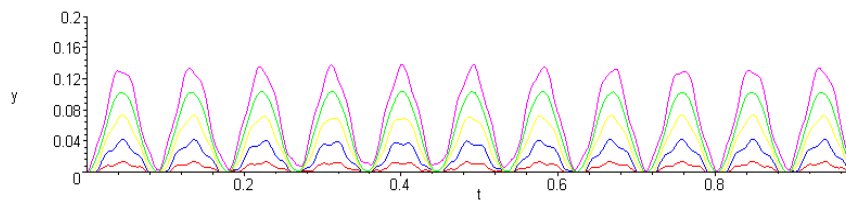
(ii)  $g=0.05$ (iii)  $g=0.1$ (iv)  $g=0.2$ (v)  $g=0.3$ 

Figura 42 . - Resposta da Superposição Modal de uma barra discretizada em cinco elementos, com  $n=4$  que implica uma expansão da series de frequências até  $O(\omega^8)$ .